



لیگ  
پژوهشی  
فوتونیک

بیستمین کنفرانس اپتیک و فوتونیک ایران  
و ششمین کنفرانس مهندسی و فناوری فوتونیک ایران  
۸ تا ۱۰ بهمن ماه ۱۳۹۲ - دانشگاه صنعتی شیراز



## طرح واره نظری برای تولید فیزیکی حالت‌های همدوس غیرخطی در هم‌تنیده گروه‌های $SU(2)$ و $SU(1,1)$

امیر کریمی<sup>۱,۲</sup> و محمد کاظم توسلی<sup>۱,۳</sup>

<sup>۱</sup> گروه اتمی و مولکولی، دانشکده فیزیک، دانشگاه یزد، یزد

<sup>۲</sup> گروه فیزیک، دانشگاه آزاد اسلامی، آباده، فارس

<sup>۳</sup> گروه پژوهشی فوتونیک، مرکز تحقیقات مهندسی، دانشگاه یزد، یزد

چکیده - اخیراً حالت‌های همدوس غیرخطی در هم‌تنیده با جایگزینی حالت‌های همدوس در حالت‌های همدوس غیرخطی، معرفی شده‌اند. در این مقاله با ارائه یک طرح واره فیزیکی بر اساس برهمنکش تشدیدی یک اتم سه‌ترازی نوع  $\Lambda$  با یک کاواک دومدی در حضور دو میدان کلاسیکی قوی، به تولید فیزیکی دو گروه از این حالت‌ها، یعنی حالت‌های همدوس غیرخطی در هم‌تنیده متناظر با گروه‌های  $SU(1,1)$  و  $SU(2)$  پردازیم.

کلید واژه - حالت‌های همدوس غیرخطی در هم‌تنیده، گروه‌های  $SU(1,1)$  و  $SU(2)$ .

## A Theoretical Scheme for Generation of a Class of $SU(1,1)$ and $SU(2)$ Entangled Nonlinear Coherent States

A. Karimi<sup>1,2</sup> and M. K. Tavassoly<sup>1,3</sup>

<sup>1</sup> Atomic and Molecular Group, Faculty of Physics, University of Yazd, Yazd

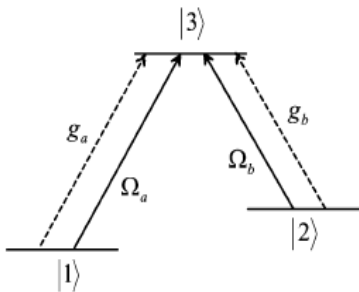
<sup>2</sup> Department of Physics, Islamic Azad University of Abadeh, Fars

<sup>3</sup> Photonic & Research Group, Engineering Research Center, University of Yazd, Yazd

Abstract- Recently, the entangled nonlinear coherent states are introduced via replacing coherent states with nonlinear coherent states in entangled coherent states. In this paper, in order to generate the  $SU(1,1)$  and  $SU(2)$  entangled nonlinear coherent states, an appropriate scheme is presented. The scheme is based on the resonant interaction of a  $\Lambda$ -type three-level atom with the two cavity modes of a quantized field in the presence of two strong classical fields.

Keywords: Entangled nonlinear coherent states,  $SU(1,1)$  and  $SU(2)$  groups.

مد ناهمگن  $a$  و  $b$  کاواک و یک اتم سهترازی نوع  $\wedge$  تشکیل شده است. همان‌طور که در شکل ۱ نشان داده شده است، درون کاواک، گذار دوقطبی بین دو حالت پایه  $|1\rangle$  و  $|2\rangle$  اتم سهترازی ممنوع و گذار از حالت برانگیخته  $|3\rangle$  به دو حالت با انرژی‌های کمتر مجاز می‌باشد. گذارهای  $|1\rangle$  به  $|3\rangle$  و  $|2\rangle$  به  $|3\rangle$  با مد  $a$  کاواک با بسامد  $\omega_a$  و  $\omega_b$  که توسط یک میدان کلاسیکی با دامنه  $g_a$  و  $g_b$  و فاز  $\varphi_a$  و  $\varphi_b$  برانگیخته شده، جفت شده است.



شکل ۱- ترازهای اتمی یک اتم سهترازی نوع  $\wedge$  و برهم‌کنش با دو میدان کلاسیکی و دو مد کاواک.

با فرض اینکه مدهای کاواک و میدان‌های کلاسیکی با گذارهای اتمی متناظر، در حالت تشدید باشند، هامیلتونی سامانه اتم-میدان در تصویر برهم‌کنش به شکل زیر تعریف می‌شود:

$$\begin{aligned} H &= H_{cav} + H_{cl} \\ H_{cl} &= g_a(\sigma_{13}e^{i\varphi_a} + \sigma_{31}e^{-i\varphi_a}) + g_b(\sigma_{23}e^{i\varphi_b} + \sigma_{32}e^{-i\varphi_b}) \\ H_{cav} &= \Omega_a(\sigma_{13}A^\dagger + \sigma_{31}A) + \Omega_b(\sigma_{23}B^\dagger + \sigma_{32}B) \end{aligned} \quad (5)$$

که  $\sigma_{ij} = i|\langle j| - i\rangle|$  شباهسپینورهای پائولی اتمی، و  $A^\dagger$  و  $B^\dagger$  عملگرهای آفرینش و نابودی تغییرشکل یافته مدنظر (b) هستند که به شکل (a)  $A = af(n_a)$  و  $B = bf(n_b)$  و  $A^\dagger = f(n_a)a^\dagger$  و  $B^\dagger = f(n_b)b^\dagger$  تعریف می‌شوند. در این مقاله پالس‌های لیزی قوی منظور توصیف دینامیک سامانه با میدان‌های کلاسیکی قوی، پایه‌های زیر را معرفی می‌کنیم:

$$\begin{aligned} |0\rangle &= \frac{1}{\sqrt{g_a^2 + g_b^2}}(g_be^{-i\varphi_b}|1\rangle - g_ae^{-i\varphi_a}|2\rangle) \\ |\pm\rangle &= \frac{1}{\sqrt{2}}[|3\rangle \pm \frac{1}{\sqrt{g_a^2 + g_b^2}}(g_ae^{-i\varphi_a}|1\rangle + g_be^{-i\varphi_b}|2\rangle)] \end{aligned} \quad (6)$$

## ۱. مقدمه

برهم‌نیهی و درهم‌تنیدگی، به عنوان ویژگی‌های غیرکلاسیکی سامانه‌های کوانتومی، نقش مهمی را در فرایند اطلاعات کوانتومی در هر دو زمینه نظری و تجربی ایفا می‌کنند [۱]. در دو دهه اخیر طرح‌های مختلفی به منظور مطالعه و تولید حالت‌های غیرکلاسیکی سامانه‌های کوانتومی مورد بحث و پیشنهاد قرار گرفته است [۲]. به عنوان نمونه‌ای خاص از این حالت‌ها، حالت‌های همدوس درهم‌تنیده دومدی زوج و فرد به کمک حالت‌های همدوس  $|\pm\alpha\rangle$  به شکل زیر تعریف شده است [۳]:

$$|\Psi_\pm\rangle_{ECS} = N_{ECS}(|\alpha\rangle_a|-\alpha\rangle_b \pm |-\alpha\rangle_a|\alpha\rangle_b) \quad (1)$$

با جایگزین کردن حالت‌های همدوس در رابطه (۱) توسط حالت‌های همدوس غیرخطی، حالت‌های همدوس غیرخطی درهم‌تنیده زوج یا فرد به دست می‌آید.

به طور کلی، حالت‌های همدوس غیرخطی درهم‌تنیده به کمک دو حالت همدوس غیرخطی با دامنه‌های مشابه و اختلاف فاز  $e^{i\theta}$  به شکل زیر تعریف شده‌اند:

$$|\Psi_{ENCS}\rangle = N_{ENCS} \times (|\alpha, f\rangle_1 |e^{i\theta}\alpha, f\rangle_2 \pm e^{i\varphi} |e^{i\theta}\alpha, f\rangle_1 |\alpha, f\rangle_2) \quad (2)$$

که در آن حالت همدوس غیرخطی طبق رابطه زیر تعریف می‌شود [۴]:

$$|\alpha, f\rangle = N_{NCS} \sum_{n=0}^{\infty} \frac{[f(n)]!}{\sqrt{n!}} \alpha^n |n\rangle \quad (3)$$

و ثابت  $N_{NCS}$  از شرط بهنجارش به دست می‌آید. اخیراً به بررسی ویژگی‌های غیرکلاسیکی حالت خاصی از این حالت‌ها پرداخته‌ایم [۵]

$$\frac{1}{\sqrt{2}}(|\alpha, f\rangle_1 |-\alpha, f\rangle_2 + i|-\alpha, f\rangle_1 |\alpha, f\rangle_2) \quad (4)$$

هدف ما در این مقاله، ارائه یک طرح‌واره فیزیکی به منظور تولید دو رده خاص از این حالت‌ها است.

## ۲. تولید فیزیکی حالت‌های همدوس غیرخطی

### درهم‌تنیده

در این قسمت، با ارائه طرح‌واره‌ای بر اساس برهم‌کنش تشدیدی یک اتم سهترازی نوع  $\wedge$  با یک کاواک دومدی در حضور دو میدان کلاسیکی قوی، به تولید فیزیکی دو رده ویژه از این حالت‌ها می‌پردازیم [۶]. این چینش آزمایشگاهی از یک تشدیدگر فابری-پرو، حمل کننده دو

$$\begin{aligned} & \frac{1}{\sqrt{2}}(e^{-it\sqrt{g_a^2+g_b^2}}e^{\alpha A^\dagger-\alpha^* A}e^{-\beta B^\dagger+\beta^* B}|+\rangle|0\rangle_a|0\rangle_b) \\ & +(e^{it\sqrt{g_a^2+g_b^2}}e^{-\alpha A^\dagger+\alpha^* A}e^{\beta B^\dagger-\beta^* B}|-\rangle|0\rangle_a|0\rangle_b) \end{aligned} \quad (12)$$

به منظور حفظ ویژگی یکانی بودن عملگرهای جابجایی- گونه ظاهرشده در رابطه (12) برای مدهای  $a$  و  $b$ ، توابع غیرخطی ویژه‌ای را مورد بررسی قرار می‌دهیم.

### ۳. تولید فیزیکی ردهای خاص از حالت‌های

#### $SU(1,1)$ همدوس غیرخطی درهم‌تنیده

با در نظر گرفتن تابع غیرخطی متناظر با پتانسیل مثلثاتی اصلاح شده  $V(x)=U\tan^2(bx)$  که  $U$  شدت پتانسیل و  $b$  برد آن است، داریم [۷]

$$f_1(n)=\sqrt{\frac{\hbar b^2}{2\mu\Omega}(n+2\lambda-1)} \quad (13)$$

که در این رابطه،  $\Omega$  و  $\mu$  به ترتیب بسامد میدان و جرم ذره هستند و متغیر  $\lambda$  توسط رابطه  $\lambda(\lambda+1)=\frac{2\mu U_0}{\hbar^2 b^2}$  به شدت و برد پتانسیل مرتبط می‌شود (زیرنویس ۱ در (۱۳) به حالت همدوس  $SU(1,1)$  اشاره دارد). روابط جابجایی برای عملگرهای تغییرشکل یافته متناظر به شکل زیر داده می‌شود:

$$[A_1, A_1^\dagger]=\frac{\hbar b^2}{\mu\Omega}(n_a+\lambda), \quad [B_1, B_1^\dagger]=\frac{\hbar b^2}{\mu\Omega}(n_b+\lambda) \quad (14)$$

با تعریف  $K_{1a}^0=n_a+\lambda$  و  $K_{1a}^+=\sqrt{\frac{2\mu\Omega}{\hbar b^2}}A_1^\dagger$ ،  $K_{1a}^-=\sqrt{\frac{2\mu\Omega}{\hbar b^2}}A_1$ ،  $K_{1b}^0=n_b+\lambda$  و  $K_{1b}^+=\sqrt{\frac{2\mu\Omega}{\hbar b^2}}B_1^\dagger$ ،  $K_{1b}^-=\sqrt{\frac{2\mu\Omega}{\hbar b^2}}B_1$  برای مد (۱۴)، روابط جابجایی را می‌توان به شکل زیر نوشت:

$$[K_{li}^0, K_{li}^\pm]=\pm K_{li}^\pm, \quad [K_{li}^-, K_{li}^+]=2K_{li}^0, \quad i=a, b \quad (15)$$

که صریحاً به جبر لی گروه  $SU(1,1)$  اشاره دارد. با استفاده از روش گیلمور-پرلوموف در ساختار مبتنی بر نظریه گروهی حالت‌های همدوس، رابطه (۱۲) را می‌توان به شکل زیر بازنویسی کرد:

$$\begin{aligned} & \frac{1}{\sqrt{2}}[e^{-it\sqrt{g_a^2+g_b^2}}e^{\xi K_{1a}^+-\xi^* K_{1a}^-}e^{-\eta K_{1b}^+-\eta^* K_{1b}^-}|+\rangle|0\rangle_a|0\rangle_b) \\ & +(e^{it\sqrt{g_a^2+g_b^2}}e^{-\xi K_{1a}^+-\xi^* K_{1a}^-}e^{\eta K_{1b}^+-\eta^* K_{1b}^-}|-\rangle|0\rangle_a|0\rangle_b) \end{aligned} \quad (16)$$

که در معادله ویژه‌مقداری زیر صدق می‌کنند:

$$H_{cl}|0\rangle=0, \quad H_{cl}|\pm\rangle=\pm\sqrt{g_a^2+g_b^2}|\pm\rangle \quad (7)$$

عملگرهای  $H_{cl}$  و  $H_{ca}$  را بر اساس پایه‌های معروفی شده  $|\pm\rangle$  و  $|0\rangle$  به دست می‌آوریم و برای ساده‌سازی دینامیک سامانه، از تصویر برهمنشی که از تبدیل زیر به دست می‌آید، استفاده می‌کنیم [۶]:

$$R=\exp[-i\sqrt{g_a^2+g_b^2}(|+\rangle\langle+|-|-\rangle\langle-|)t] \quad (8)$$

هامیلتونی متناظر با این تصویر تبدیل یافته از رابطه زیر به دست می‌آید:

$$H'=R^\dagger HR-iR^\dagger \frac{dR}{dt} \quad (9)$$

با در نظر گرفتن محدوده لیزر قوی (۹)، تقریب RWA و حذف جملاتی با نوسان سریع در  $H'$

هامیلتونی مؤثر  $H_{eff}$  به شکل زیر حاصل می‌شود:

$$\begin{aligned} H_{eff}=&\frac{\Omega_a g_a}{2\sqrt{g_a^2+g_b^2}}(|+\rangle\langle+|-|-\rangle\langle-|)(e^{-i\varphi_a}A_1^\dagger+e^{i\varphi_a}A) \\ & +\frac{\Omega_b g_b}{2\sqrt{g_a^2+g_b^2}}(|+\rangle\langle+|-|-\rangle\langle-|)(e^{-i\varphi_b}B_1^\dagger+e^{i\varphi_b}B) \end{aligned} \quad (10)$$

عملگر تحول زمانی متناظر با هامیلتونی (۱۰)، از رابطه زیر به دست می‌آید [۶]:

$$\begin{aligned} U(t)=RU_{eff}(t)=&R\exp\{-iH_{eff}t/\hbar\} \\ =&\exp[-it\sqrt{g_a^2+g_b^2}(|+\rangle\langle+|-|-\rangle\langle-|)] \\ &\times\exp\{-it(|+\rangle\langle+|-|-\rangle\langle-|)\} \\ &\times[\frac{\Omega_a g_a}{2\sqrt{g_a^2+g_b^2}}(e^{-i\varphi_a}A_1^\dagger+e^{i\varphi_a}A) \\ &+\frac{\Omega_b g_b}{2\sqrt{g_a^2+g_b^2}}(e^{-i\varphi_b}B_1^\dagger+e^{i\varphi_b}B)] \end{aligned} \quad (11)$$

هم اکنون، با عبور یک اتم سه‌ترازی از درون کاواک، حالت همدوس غیرخطی درهم‌تنیده را تولید می‌کنیم. برای این منظور اتم سه‌ترازی و میدان را ابتدا به ترتیب در حالت برانگیخته  $|+\rangle|-\rangle|0\rangle_a|0\rangle_b$  فرض می‌کنیم. پس از خروج اتم از کاواک، با کنش عملگر تحول زمانی (۱۱) روی حالت سامانه اتم-میدان و درنظر گرفتن  $\alpha=\frac{\Omega_a g_a e^{-i\varphi_a}}{2\sqrt{g_a^2+g_b^2}}$  و  $\beta=\frac{\Omega_b g_b e^{-i\varphi_b}}{2\sqrt{g_a^2+g_b^2}}$  حالت سامانه به شکل زیر به دست می‌آید:

در هم‌تئیده  $SU(1,1)$  شد، با تعریف عملگرهای غیرخطی جدید و به دست آوردن روابط جابجایی برای عملگرهای غیرخطی تعریف شده، به جبر لی گروه  $SU(2)$  مرسیم. با استفاده از این جبر و تغییر متغیرهای مناسب، رابطه‌ای مشابه با رابطه (۱۶) ظاهر می‌شود که پس از کنش عملگرهای جابجایی یکانی روی حالت‌های خلا، حالتی مشابه با (۱۸) مرتبط با گروه  $SU(2)$  به دست می‌آید [۸]. پس از خروج اتم از کاواک در حالت برانگیخته  $\langle 3 \rangle$ ، سامانه در حالت زیر قرار می‌گیرد:

$$\begin{aligned} |\psi\rangle = & N_{ENCS_2} [e^{-it\sqrt{g_a^2+g_g^2}} |\eta_2(\alpha), f_2\rangle_a | -\delta_2(\beta), f_2\rangle_b \\ & + (e^{it\sqrt{g_a^2+g_g^2}} | -\eta_2(\alpha), f_2\rangle_a | \delta_2(\beta), f_2\rangle_b] \end{aligned} \quad (۲۱)$$

احتمال موفقیت این رویداد و تولید این حالت‌ها، از روابطی مشابه با آنچه در مورد گروه  $SU(1,1)$  گفته شد، به دست می‌آید.

## ۵. نتیجه‌گیری

در این مقاله پس از معرفی مختصر حالت‌های همدوس غیرخطی در هم‌تئیده، با ارائه طرح وارهای بر اساس برهمنش تشدیدی یک اتم سه‌ترازی نوع  $\Lambda$  با یک کاواک دومدی در حضور دو میدان کلاسیکی قوی، به تولید فیزیکی این حالت‌ها پرداختیم و با درنظر گرفتن دوتابع غیرخطی  $f_1(n)$  و  $f_2(n)$  متناظر با دو پتانسیل فیزیکی معین دو رده خاص از حالت‌های همدوس غیرخطی در هم‌تئیده متناظر با گروه‌های  $SU(1,1)$  و  $(2)$  را تولید کردیم.

## مراجع

- [1] Barenco A, Dutch D, Ekert A and Jozsa R 1995 Phys. Rev. Lett. **74** 4083.
- [2] Busek V, Barranco A V, Knight P L 1992 Phys. Rev. A **45** 6570.
- [3] Yurke B and Stoler D 1987 Phys. Rev. A **35** 4846.
- [4] Roy B and Roy P 2000 J. Opt. B: Quantum Semiclass. Opt. **2** 65.
- [5] کریمی، امیر و توسلی، محمد کاظم، ۱۳۹۲، کنفرانس فیزیک ایران.
- [6] XuBo Zou and Mathis W 2005 Phys. Lett. A. 337 305.
- [7] Sanchez O S and Recamier J 2011 J. Phys. A: Math. Theor. **44** 145307.
- [8] Miry S R and Tavassoly M K 2012 Phys. Scr. **85** 035404.

$$\begin{aligned} \text{که در آن از روابط} \quad \eta = \sqrt{\frac{\hbar b}{2\mu\Omega}} \beta \quad \text{و} \quad \xi = \sqrt{\frac{\hbar b^2}{2\mu\Omega}} \alpha \quad \text{استفاده} \\ \text{کرد} \quad [\Lambda]. \quad \text{حال به راحتی می‌توان آزمود که:} \\ |\eta_1(\alpha), f_1\rangle_a = D_{f_1}(\alpha) |0\rangle_a = e^{\xi K_{1a}^+ - \xi^* K_{1a}^-} |0\rangle_a \\ = e^{\xi K_{1a}^+ (1 - |\zeta|^2)} K_{1a}^0 e^{-\xi^* K_{1a}^-} |0\rangle_a \\ = (1 - \frac{\hbar b^2}{2\mu\Omega} |\eta_1(\alpha)|^2)^\lambda \sum_{n=0}^{\infty} \frac{[f_1(n)]!}{\sqrt{n!}} \eta_1(\alpha)^n |n\rangle \end{aligned} \quad (۱۷)$$

و رابطه‌ای مشابه برای  $|\delta_1(\beta), f_1\rangle_b$  که  $\zeta = \sqrt{\frac{\hbar b^2}{2\mu\Omega}} \alpha$  و  $\xi = \sqrt{\frac{2\mu\Omega}{\hbar b^2}} \beta$  برای مدد  $a$  و  $\eta_1(\alpha) = \sqrt{\frac{2\mu\Omega}{\hbar b^2}} \zeta$  و  $\eta_1(\beta) = \sqrt{\frac{2\mu\Omega}{\hbar b^2}} \gamma$  برای مدد  $b$  به کار رفته‌اند، رابطه (۱۶) را می‌توان به شکل زیر نوشت:

$$\begin{aligned} \frac{1}{\sqrt{2}} [e^{-it\sqrt{g_a^2+g_g^2}} |+\rangle | \eta_1(\alpha), f_1\rangle_a | -\delta_1(\beta), f_1\rangle_b \\ + (e^{it\sqrt{g_a^2+g_g^2}} |-\rangle | -\eta_1(\alpha), f_1\rangle_a | \delta_1(\beta), f_1\rangle_b] \end{aligned} \quad (۱۸)$$

اگر اتم پس از خروج از کاواک در حالت برانگیخته  $\langle 3 \rangle$  باشد، سامانه در حالت زیر قرار می‌گیرد:

$$\begin{aligned} |\psi\rangle = & N_{ENCS_1} [e^{-it\sqrt{g_a^2+g_g^2}} | \eta_1(\alpha), f_1\rangle_a | -\delta_1(\beta), f_1\rangle_b) \\ & + (e^{it\sqrt{g_a^2+g_g^2}} | -\eta_1(\alpha), f_1\rangle_a | \delta_1(\beta), f_1\rangle_b] \end{aligned} \quad (۱۹)$$

از آنجایی که احتمال موفقیت این رویداد  $P_s = N_{ENCS}^{-2}$  می‌باشد، در نتیجه، تکرار این آزمایش به طور میانگین به تعداد  $P_s^{-1}$  بار، به تولید این حالت‌ها منتهی می‌شود.

## ۴. تولید فیزیکی رده‌ای خاص از حالت‌های $SU(2)$ همدوس غیرخطی در هم‌تئیده

به عنوان مثالی دیگر از کاربرد رهیافت ارائه شده در این مقاله، به طور مختصر، تابع غیرخطی متناظر با تابع پتانسیل اصلاح شده پوشش‌تلر ( $V(x) = U_0 \tanh^2(ax)$ ) را به شکل زیر در نظر می‌گیریم [۷]:

$$f_2(n) = \sqrt{\frac{\hbar a^2}{2\mu\Omega}} (2s+1-n) \quad (۲۰)$$

$\Omega$  و  $\mu$  مشابه قسمت قبل و متغیر  $s$  توسط رابطه‌ای مشابه با متغیر  $\lambda$  تعریف می‌شوند (زیرنویس ۲ در  $f_2(n)$  به حالت همدوس  $SU(2)$  اشاره دارد). مشابه با روشی که در قسمت قبل منجر به تولید حالت‌های همدوس غیرخطی